

V18

Der Germanium-Detektor

Fritz Agildere
fritz.agildere@udo.edu

Amelie Strathmann
amelie.strathmann@udo.edu

Durchführung: 22. April 2024
Abgabe:

TU Dortmund – Fakultät Physik

Inhaltsverzeichnis

1 Zielsetzung	2
2 Theorie	2
2.1 Die Wechselwirkung von Strahlung mit Materie	2
2.1.1 Der Photoeffekt	3
2.1.2 Der Compton Effekt	3
2.1.3 Die Paarerzeugung	5
2.2 Grundlagen eines Halbleiter-Detektors	5
2.3 Das Spektrum eines monochromatischen Gammastrahlers	6
3 Aufbau	7
4 Durchführung	8
5 Auswertung	8
5.1 Energiekalibration und Bestimmung der Vollenergienachweiswahrscheinlichkeit	8
6 Diskussion	12
Literatur	12
Anhang	13

1 Zielsetzung

Ziel des Versuches ist es die Funktionsweise eines hochreinen Germaniumdetektors zu untersuchen. Zunächst wird die Energiekalibration und die Vollenergienachweiswahrscheinlichkeit des Detektors bestimmt. Anschließend wird anhand der gesammelten Daten über die Eigenschaften des hochreinen Germaniumdetektors, ein Spektrum eines unbekannten Strahlers aufgenommen und hinsichtlich dessen Energie und Aktivität ausgewertet.

2 Theorie [1]

Zum Verständnis des hochreinen Germaniumdetektors werden die theoretischen Grundlagen im Folgenden erläutert.

2.1 Die Wechselwirkung von Strahlung mit Materie

Bei der Gamma-Strahlungs-Detektion werden Elektronen des Detektor-Materials von den Gamma-Photonen angeregt und damit werden die Atome ionisiert. Es bilden sich Elektronen-Loch-Paare. Die Primärelektronen ionisieren wiederum weitere Atome des Detektor-Mediums und erzeugen somit weitere Elektron Loch Paare. Die Anzahl der Elektronen-Loch Paare ist direkt proportional zur Energie des Elektrons aus der primären Wechselwirkung.

Da der Absorptionskoeffizient für Gamma-Strahlung bei Gasen sehr niedrig ist, werden Gamma-Strahlen-Detektoren aus Festkörpern gebaut. Das Material des Detektors muss so gewählt werden, dass die Anzahl der Elektronen-Loch-Paare gesammelt und als elektrisches Signal wiedergegeben werden kann. Zusätzlich ist der Grad der Interaktion von Gamma-Strahlung mit Materie abhängig von der Energie der Strahlung. Der Intensitätsverlust eines γ -Strahls in Materie ist abhängig von der jeweiligen Schichtdicke des Materials d , der Elektronendichte und dem Wirkungsquerschnitt σ . Dabei ist der Wirkungsquerschnitt ein Maß für die Wahrscheinlichkeit einer Teilchenreaktion. Dieser lässt sich als effektive Wirkungsfläche interpretieren

In Abbildung 1 ist der Dämpfungskoeffizient von Germanium, welcher die Reduktion der Strahlungsintensität bei bestimmter Energie verursacht durch den Absorber misst, gegen die Gamma-Strahlen Energie aufgetragen.

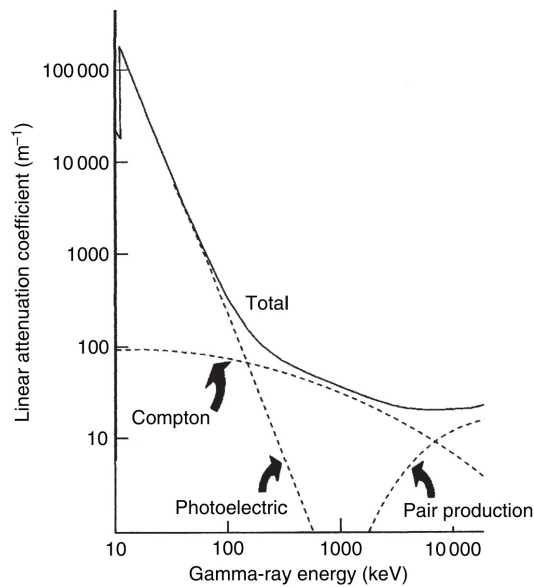


Abbildung 1: Der Dämpfungskoeffizient von Germanium und dessen Komponenten.
[2]

Die totale Kurve setzt sich aus verschiedenen Komponenten zusammen: Dem Photoeffekt, dem Compton Effekt und der Paarerzeugung. Im Folgenden werden die einzelnen Komponenten erläutert.

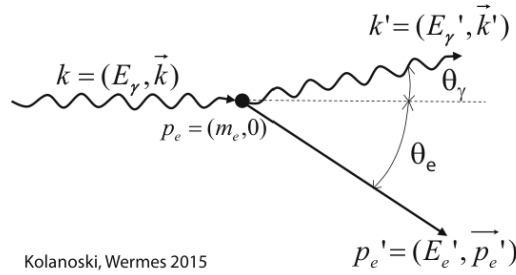
2.1.1 Der Photoeffekt

Der Photoeffekt beschreibt den Prozess bei dem ein ein Gamma-Quant mit einem Hüllenelektron wechselwirkt. Das Photon wird absorbiert, daher gibt es seine gesamte Energie an das Atom ab, und ein Elektron wird emittiert. Das Atom nimmt dabei den Rückstoßimpuls auf und wird ionisiert. Anhand der Abbildung 1 lässt sich ablesen, dass für Energien im Bereich bis zu 100 keV Absorption durch den Photoeffekt dominiert. Der Wirkungsquerschnitt des Photoeffekts fällt für große Energien ab. Bei konstanter Photonen-Energie nimmt σ stark zu für wachsende Z . Demnach ist der Wirkungsquerschnitt abhängig von der Energie der γ -Quanten und der Kernladungszahl Z .

2.1.2 Der Compton Effekt

Der Compton-Effekt ist die Streuung eines Photons an einem quasi-freien oder freien Elektrons. Die Hüllenelektronen eines Atoms werden hier als quasi-frei betrachtet unter der Bedingung, dass die Energie des Photons viel größer als die Bindungsenergie der

Elektronen ist. Dieser Prozess dominiert in Materie um den Bereich 1 MeV. Die Kinematik der Compton Streuung ist in Abildung 2 zu sehen.



Kolanoski, Wermes 2015

Abbildung 2: Die Kinematik des Compton Effekts, wobei das Elektron als quasi-frei betrachtet wird.[4]

Um den Zusammenhang zwischen der Energie und des Winkels des gestreuten Photons zu brechenen, werden Viererimpulse verwendet. Diese wurden in der Abbildung 2 definiert. Dabei bezeichnen k und p_e die Viererimpulse des Photons und des Elektrons vor dem Stoß. k' und p_e' bezeichnen die Viererimpulse nach dem Stoß. Aus Impulserhaltung und Energieerhaltung folgt der Zusammenhang

$$E'_\gamma = \frac{E_\gamma}{1 + \epsilon (1 - \cos \theta_\gamma)} \quad (1)$$

für die Energie des gestreuten Photons.

Den Wirkungsquerschnitt der Compton Streuung ergibt sich aus der Integration der Klein-Nishina-Formel über den Raumwinkel

$$\frac{d\sigma}{d\Omega} = \frac{r_e^2}{2 [1 + \epsilon (1 - \cos \theta_\gamma)]^2} \left(1 + \cos^2 \theta_\gamma + \frac{\epsilon^2 (1 - \cos \theta_\gamma)^2}{1 + \epsilon (1 - \cos \theta_\gamma)} \right). \quad (2)$$

Für den differentiellen Wirkungsquerschnitt in Abhängigkeit zur Energie ergibt sich

$$\frac{d\sigma}{dE} = \frac{\pi r_e}{\epsilon E_\gamma} \left(2 - \frac{2E}{\epsilon (E_\gamma - E)} + \frac{E^2}{\epsilon^2 (E_\gamma - E)^2} + \frac{E^2}{E_\gamma (E_\gamma - E)} \right). \quad (3)$$

Für den Wirkungsquerschnitt pro Atom kommt es zu einer linearen Abhängigkeit

$$\sigma_{\text{Compton}}^{\text{Atom}} = Z \sigma_{\text{Compton}}. \quad (4)$$

Die Linearität gilt für die Annahme von freien Elektronen, also für Energien oberhalb der Bindungsenergie des Elektronen. Für kleinere Energien nimmt der Compton Wirkungsquerschnitt in Materie ab.

2.1.3 Die Paarerzeugung

Eine weitere Wechselwirkung ist die Paarerzeugung, wobei ein Photon mit dem ganzen Atom interagiert. Das γ -Quant kann in dem Coulomb Feld einer Ladung in ein Elektron-Positron-Paar umgewandelt werden. Aufgrund der Impulserhaltung kann Paarerzeugung nur auftreten, wenn ein Stoßpartner in Form eines Atoms oder eines Hüllenelektrons gegeben ist. Damit Paarbildung auftreten kann, muss für die Energie der Photonen die Bedingung

$$E_\gamma \approx 2m_e c^2 \quad (5)$$

erfüllt sein. Aus der Abbildung 1 folgt, dass die Paarerzeugung für Energien größer als 1 MeV dominiert.

2.2 Grundlagen eines Halbleiter-Detektors

Halbleiterdetektoren aus Silizium oder Germanium eignen sich für den Nachweis von Gammastrahlung und die Bestimmung derer Energie mit einer hohen Genauigkeit. Die zentrale Komponente des Detektors ist die Halbleiterdiode. In diesem Versuch wird ein hochreiner Germaniumdetektor verwendet. Die Diode besteht aus einem zylinderförmigen Germanium Kristall. Die Oberfläche ist über Eindiffusion von Lithium Atomen n-dotiert. An diese wird der Pluspol der Sperrspannung angelegt. Im Inneren des Kristalls befindet sich eine koaxiale Bohrung, welche an der Oberfläche mit Gold bedampft wurde, sodass diese p-dotiert ist. Es kommt zur Ausbildung einer ausgedehnten Verarmungszone. Wenn nun die Gammastrahlung bei einer Energie E_γ oberhalb der Bandlücke eintrifft, wird ein Primärelektron von dem Photon angeregt. Sodass das Elektron von dem Valenzband in das Leitungsband angehoben wird. Wird eine Elektron in ein anderes höher liegendes Band angeregt, lässt dieses eine freie Stelle über. Diese wird als Loch mit einer positiven Ladung interpretiert. Die Energie dieses Elektrons ist sehr hoch, daher kommt es mehrfach zu Anregung von Sekundärteilchen, welche wiederum freie Stellen zurücklässt. Die Erzeugung von sekundäre Elektronen ist ein statistischer Prozess. Da die Löcher als Teilchen mit positiver Ladung angesehen werden können und die Elektronen eine negative Ladung besitzen, werden die Löcher von der n-dotierten Schicht und die Elektronen von der p-dotierten Schicht angezogen. So fließt ein Strom, der gemessen werden kann. Die Anzahl der Elektronen-Loch-Paare n ist direkt abhängig zu der absorbierten Energie der Gammastrahlung $E_{\text{absorbiert}}$. Für die Energie ϵ , die benötigt wird um ein Elektron-Loch-Paar zu erzeugen gilt der Zusammenhang

$$n = \frac{E_{\text{absorbiert}}}{\epsilon}. \quad (6)$$

Die Elektronen und die Löcher müssen in dem Detektormaterial gut mobil sein. Die Größe des Kristalls ist ebenfalls eine nicht zu vernachlässigende Eigenschaft. Wichtig ist, dass der Absorptionskoeffizient groß ist, damit die Messung effektiv sein kann. Um dies zu garantieren werden Materialien mit einem großen Absorptionskoeffizient gewählt.

Dieser hängt mit der Kernladungszahl Z zusammen. Das Material muss zudem elektrische Charakteristika aufweisen, da ein Stromimpuls gemessen werden soll. Zusammen mit der Mobilität, die für die Elektronen und die Löcher gelten soll, kann der Schluss gezogen werden, dass sich Halbleiter gut für solche Detektoren eignen.

In der Abbildung 3 sind einige Materialien aufgelistet, welche sich eignen würden für einen Halbleiterdetektoren und deren Eigenschaften.

Material	Atomic number	Operating temperature	Band gap (eV) ^a	ϵ (eV) ^{a,b}	Density (g cm ⁻³)	Mobility(cm ² V ⁻¹ s ⁻¹) ^a	
						Electrons	Holes
Si	14	RT	1.106	3.62	2.33	1350	480
Ge	32	Liquid N ₂ (77 K)	0.67	2.96	5.32	3.6×10^4	4.2×10^4
CdTe	48, 52	RT	1.47	4.43	6.06	1000	80
CdZnTe	48, 30, 52	RT	1.57	4.64	5.78	1000	50–80
HgI ₂	80, 53	RT	2.13	4.22	6.30	100	4
GaAs	31, 33	RT	1.45	4.51	5.35	8000	400
TlBr	81, 35	-20°C	2.68	?	7.56	—	—
PbI ₂	82, 53	—	2.6	7.68	6.16	8	2
GaSe	31, 34	—	2.03	6.3	4.55	—	—
AlSb	13, 51	—	1.62	5.05	4.26	—	—
CdSe	48, 34	—	1.75	?	5.74	—	—

Abbildung 3: Die Eigenschaften einiger Materialien, welche geeignet wären zur Detektion von Gammastrahlung.[2]

2.3 Das Spektrum eines monochromatischen Gammastrahlers

Das Gammaspektrum weist verschiedene charakteristische Stellen auf. In Abbildung 4 ist das Gammaspektrum von Cs-137 beispielhaft gezeigt.

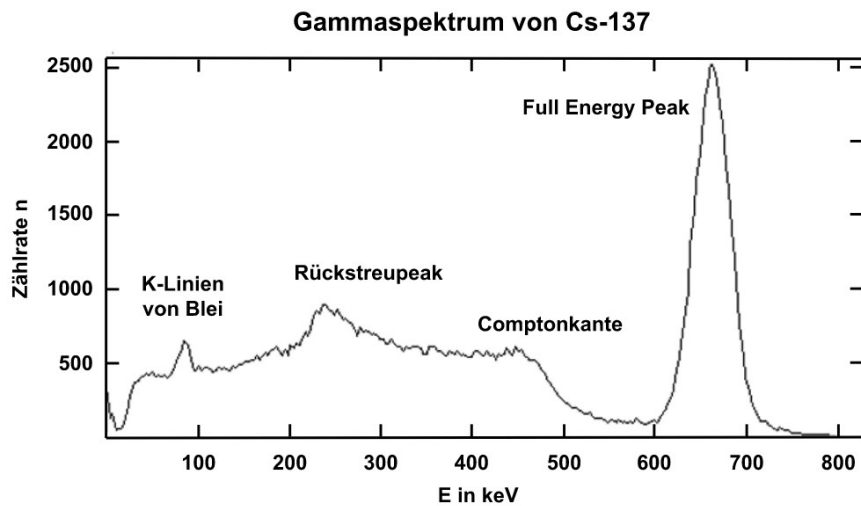


Abbildung 4: Das Gammaspektrum von Cs-137. [3]

Existenziell für die Bestimmung der Gammenergien ist der Photopeak oder auch der Full Energy Peak. Er gibt die gesamte Energie des einfallenden γ -Quants an. Nur wenn der Photoeffekt stattgefunden hat, ist die Deponierung der gesamten Energie im Detektor möglich. Das Compton Kontinuum erstreckt sich von E_{\min} bis E_{\max} . Die minimale Energie E_{\min} ist dabei festgelegt über die Nachweisgrenze des Detektors, welche in diesem Fall bei etwa 40 keV bis 50 keV liegt. Der Begriff Compton Kontinuum rührt aus der kontinuierlichen Energieabgabe beim Compton Effekt her. Die maximal abgegebene Energie E_{\max} wird als Compton-Kante bezeichnet. Diese lässt sich anhand von

$$E_{\max} = E_{\gamma} \frac{2\epsilon}{1 + 2\epsilon} \quad (7)$$

bestimmen.

Im Bereich des Compton Kontinuums kommt es zu einem zusätzlichen Anstieg, dieser wird als Rückstreupeak bezeichnet. Die γ -Quanten strahlen konzentrisch und daher gelangen diese auch in das umliegende Material. Demnach erfolgen nicht ausschließlich im Detektor Compton-Effekte, sondern auch in der Umgebung. Diese Quanten gelangen nach der Streuung in den Detektor und verantworten eine höhere Zählrate. Berechnet werden kann der Peak über

$$E_{\text{back}} = E_{\gamma} \frac{1}{1 + 2\epsilon}. \quad (8)$$

3 Aufbau

Für den Versuch wird ein coaxialer Germaniumdetektor verwendet. Der Querschnitt des Detektors ist in Abbildung 5 zu sehen.

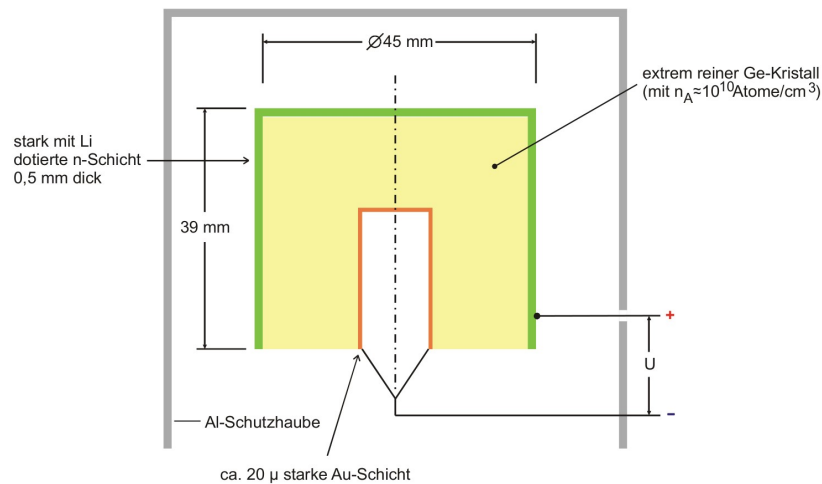


Abbildung 5: Der Querschnitt eines coaxialen Germaniumdetektors. [1]

Der Detektor ist zylinderförmig und hat einen Durchmesser von $d = 45$ mm und eine Länge von $l = 39$ mm. Um den Ge-Detektor herum befindet sich eine Aluminium Haube, welche zur thermischen und elektrischen Isolierung dient. Die Gammaquanten müssen diese Haube durchdringen. Der gesamte Aufbau ist von einem Blei Kasten umgeben. Die Quellen der radioaktiven Proben werden mittels eines Abstandshalters, welcher 7 cm lang ist, eingebaut. Zusätzlich muss beachtet werden, dass der Abstand vom Detektor und der Aluminium Schutzhaube 1,5 cm beträgt.

4 Durchführung

Jede Probe wird über einen Zeitraum von 45 min vermessen.

Im ersten Abschnitt des Versuches soll die Energiekalibration und die Vollenergienachweiswahrscheinlichkeit bestimmt werden. Dafür wird das Spektrum von kalibriertem Eu-152 aufgenommen.

Anschließend wird das Spektrum von Cs-137 gemessen. Anhand dessen soll das Spektrum und die Aktivität bestimmt werden.

Darauf folgt die Messung von Ba-133, um schließlich ebenfalls die Aktivität zu berechnen.

Zum Schluss wird das Gammaspektrum eines unbekannten Strahlers aufgenommen. Mittels der gemessenen Daten soll dieser Strahler identifiziert werden, also dem aktiven Nuklid zugeordnet werden.

Es wird die Länge des Abstandshalters mit einer Schieblehre vermessen.

5 Auswertung

Im Anschluss werden die aufgenommenen Messwerte ausgewertet.

5.1 Energiekalibration und Bestimmung der Vollenergienachweiswahrscheinlichkeit

Das aufgenommene Spektrum der Eu-152 Quelle ist in der Abbildung 6 dargestellt. Die Anzahl der Impulse wurden für eine bessere Darstellbarkeit logarithmisch abgebildet.

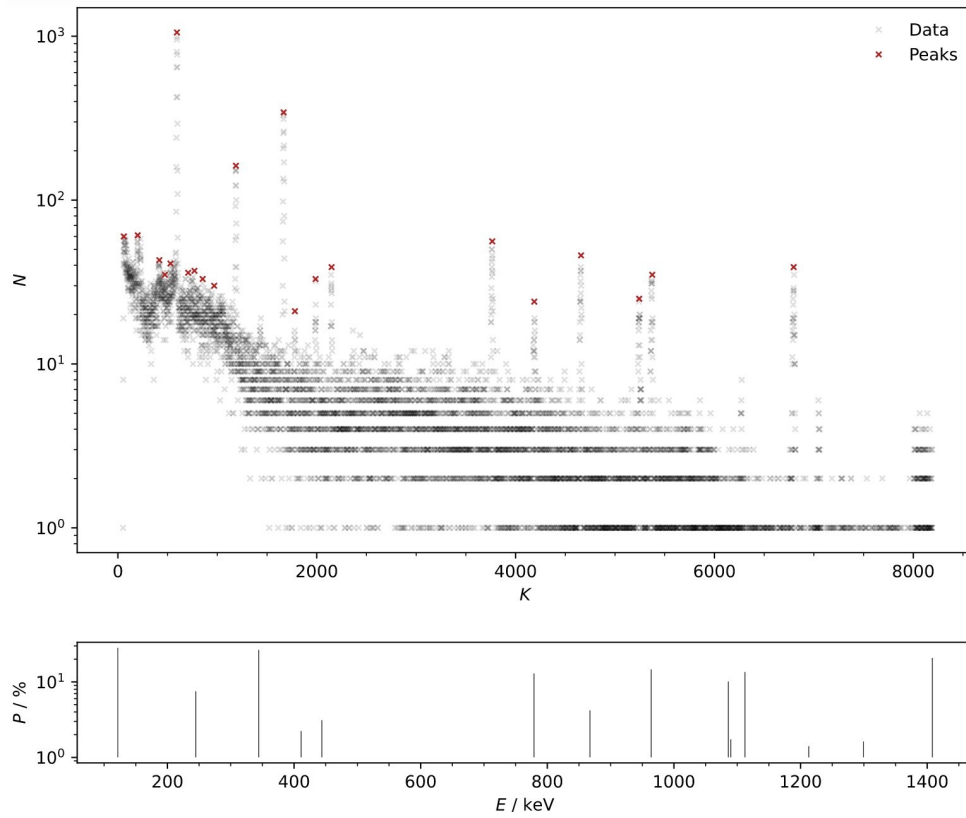


Abbildung 6: Gammaspektrum des Eu-152 Strahlers.

Die Photopeaks werden mit dem SciPy Paket find-peaks ermittelt und rot markiert. Unter dem Spektrum befinden sich die Emissionsenergien des Gammastrahlers, welche zum Abgleichen verwendet werden. Die Emissionsenergien von Eu-152 sind in der Abbildung 7 gegeben.

•

E (keV) ^a	P _γ
121.7824 ± 0.0004 ^b	0.2837 ± 0.0013
244.6989 ± 0.0010 ^b	0.0753 ± 0.0004
344.2811 ± 0.0019 ^c	0.2657 ± 0.0011
411.126 ± 0.003	0.02238 ± 0.00010
443.965 ± 0.004 ^d	0.03125 ± 0.00014 ^d
778.903 ± 0.006 ^c	0.1297 ± 0.0006
867.390 ± 0.006	0.04214 ± 0.00025
964.055 ± 0.004 ^d	0.1463 ± 0.0006
1085.842 ± 0.004	0.1013 ± 0.0005
1089.767 ± 0.014	0.01731 ± 0.00009
1112.087 ± 0.006	0.1354 ± 0.0006
1212.970 ± 0.013	0.01412 ± 0.00008
1299.152 ± 0.009	0.01626 ± 0.00011
1408.022 ± 0.004	0.2085 ± 0.0009 ^e

Abbildung 7: Die Emissionsenergien von Eu-152. [5]

Nun werden die zugeordneten Emissionsenergien gegen die Kanäle aufgetragen. Anschließend wird eine lineare Ausgleichsgerade der Form

$$a \cdot K + b$$

an die Werte angelegt. K bezeichnet dabei die Kanalnummer. Die Ausgleichsgerade ist in der Abbildung 8 zu sehen.

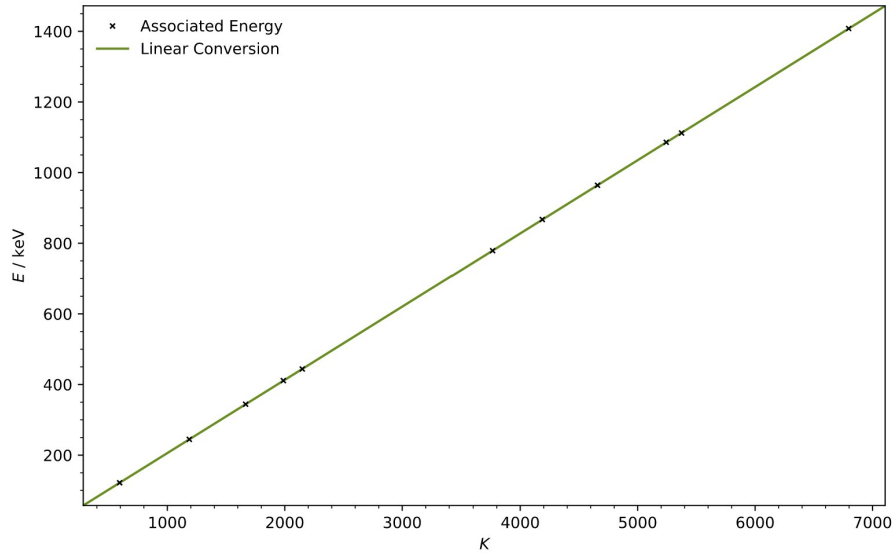


Abbildung 8: Ausgleichsrechnung der Energiekalibration.

Für die Parameter ergeben sich die Werte

$$a = (0,2073 \pm 0,0001) \text{ keV}$$

$$b = (-1,3399 \pm 0,2191) \text{ keV}.$$

Für die Energiekalibration ergibt sich demnach

$$E(K) = (0,2073 \pm 0,0001) \text{ keV} \cdot K + (-1,3399 \pm 0,2191) \text{ keV}.$$

Zur Verdeutlichung der Zuordnung der Emissionswahrscheinlichkeiten wurde das Spektrum von Eu-152 mit der Energieskala erneut erstellt und wird in der Abbildung 9 abgebildet.

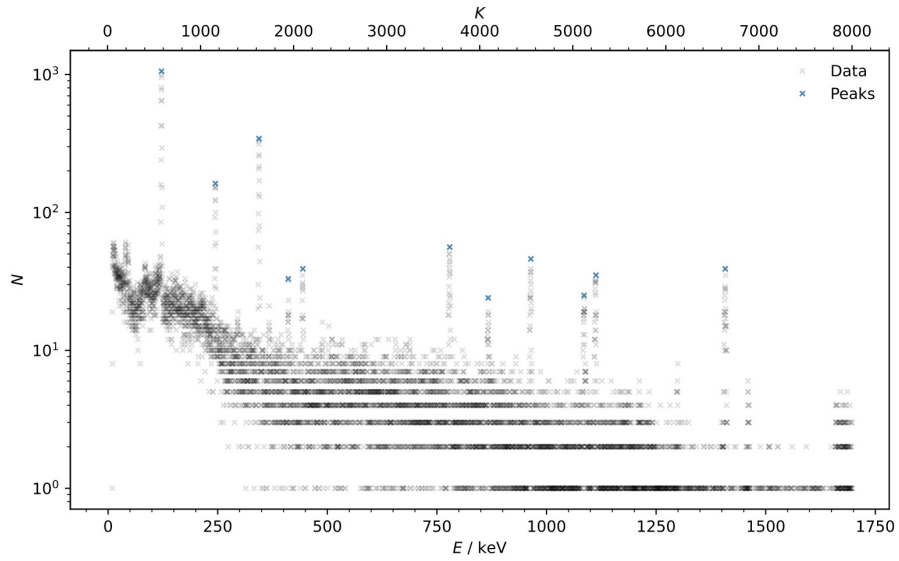


Abbildung 9: Gammaspektrum des Eu-152 Strahlers mit zusätzlicher Energieskala.

An die Full Energy Peaks wird jeweils eine Gaußfunktion gefitet. In der Abbildung 10 ist für den Peak bei $E = 122 \text{ keV}$ die Gaußkurve und die Messwerte abgebildet.

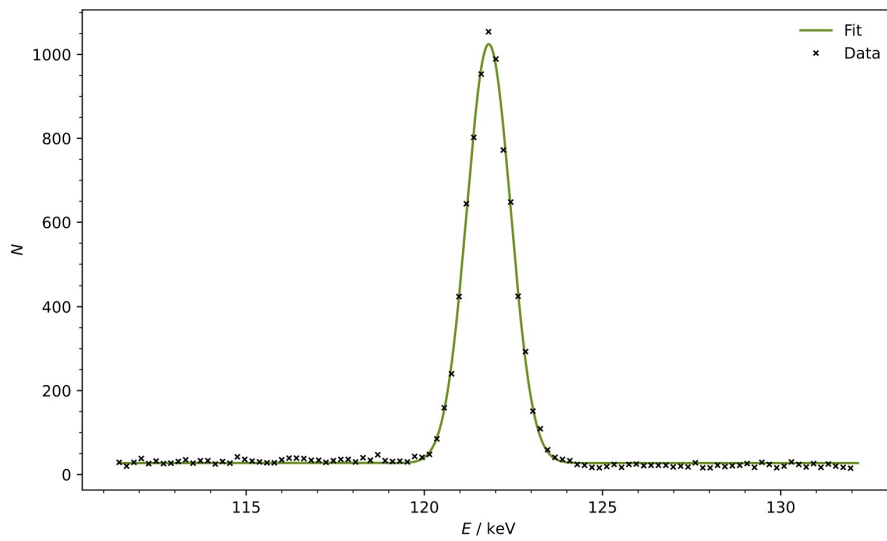


Abbildung 10: Fit einer Gaußkurve an einem Full Energy Peak für $E = 122 \text{ keV}$ des Eu-152 Spektrums.

Es ist so möglich die Gesamtanzahl der Impulse pro Peak zu bestimmen zur weiteren Berechnung der Vollenergienachweiswahrscheinlichkeit. Anhand des Fits kann auch der Hintergrund als konstant modelliert und durch subtraktion kompensiert werden.

Die Vollenergienachweiswahrscheinlichkeit wird mit der Gleichung

$$Q = \frac{N}{AWt} \cdot \frac{4\pi}{\Omega}$$

bestimmt. W Gibt die Emissionswahrscheinlichkeit an, A entspricht der Aktivität der Probe am Messtag (22.04.2024) und t ist die Zeitspanne, über die gemessen wird. Zur Bestimmung der Aktivität der Probe wird das Zerfallsgesetz gemäß

$$N(t) = N_0 \exp(-\lambda t)$$

nach t abgeleitet. Daraus folgt der Zusammenhang

$$A(t) = A_0 \exp(-\lambda t).$$

Die Start Aktivität am 01.10.2000 und die Halbwertszeit von Eu-152 sind gegeben durch

$$A_0 = (4130 \pm 60) \text{ Bq}$$

$$T_{\frac{1}{2}} = 4934 \text{ d.}$$

Für den Tag der Messung (22.04.2024) ergibt sich eine Aktivität von

$$A = (1233 \pm 18) \text{ Bq.}$$

Abschließen muss Ω berechnet werden und zwar anhand der Gleichung

$$\Omega = \frac{1}{2} \left(1 - \frac{a}{\sqrt{a^2 + r^2}} \right).$$

Dabei bezeichnet a den Abstand der Probe zum Detektor, dieser beträgt in Summe 85 mm. Der Radius r des Zylinders entspricht 22,5 mm.

6 Diskussion

Literatur

- [1] *Anleitung zu Versuch 18, Der Germanium-Detektor*. TU Dortmund, Fakultät Physik. 2024.
- [2] G.Gilmore. *Practical Gamma-ray Spectrometry*. 2. Aufl. Wiley, 2008.
- [3] *Gammaspektrum von Cs-137*. 2024. URL: <https://www.leifiphysik.de/kern-teilchenphysik/radioaktivitaet-fortfuehrung/versuche/gammaspektrum-von-cs-137>.
- [4] Hermann Kolanoski und Norbert Wermes. *Teilchendetektoren. Grundlagen und Anwendungen*. Springer, 2016.
- [5] *X-ray and gamma-ray standards for detector calibration*. IAEA, 1991.

Anhang